

(Доклад на заседании общества "Ресеч Прогресс", февраль 13, 1968,
Лоуренсовская ядерная Лаборатория, Калифорнийский Университет,
Беркли).

СВЕРХ-ТАЖЕЛЬНЫЕ ЯДРА

В. Дж. Святецкий

Лоуренсовская Ядерная Лаборатория

Калифорнийский Университет, Беркли, Калифорния.

6 марта, 1968.

В этом докладе я хочу остановиться на 3-х вопросах. Во-первых, я скажу несколько слов об обосновании исследований тяжелых элементов, особенно о теориях, согласно которым предполагаются относительно стабильными ядра с атомными номерами около $Z=114$.

Во-вторых, я опишу первые эксперименты, проведенные на ХИЛАК"е, целью которых было получение таких ядер.

И в заключение я затрачу несколько минут на спекулятивные рассуждения о чрезвычайно тяжелых "макроядрах".

План:

1. Обоснование;
2. Эксперимент по II4 элементу;
3. Макроядра.

I. В природе найдено 90 элементов, и еще дюжина синтезирована за последние 30 лет. Наиболее тяжелыми известными элементами являются лоуренций, $Z = 103$, и курчатовий, $Z = 104$. Некоторые данные по 105 элементу были представлены в сентябре прошлого года Г.Н. Флеровым из Советского Союза.

В стремлении продолжить периодическую таблицу элементов хотелось бы понять основную причину ограниченного числа элементов почему в таблице около 100 элементов, а не 2 или 3, или, скажем 2 или 3 тысячи? Из каких комбинаций физических величин возникает число 100?



Физические принципы, ограничивающие рамки периодической таблицы, - это конкуренция между ядерными силами притяжения и электростатическими силами расталкивания. Граница периодической таблицы, - это конкуренция между ядерными силами притяжения и электростатическими силами расталкивания. Граница периодической системы определяется процессом деления ядер, происходящим в том случае, когда электростатическое отталкивание протонов превышает "цементирующие" ядерные силы. Действительно, число элементов в периодической таблице - безразмерная величина порядка отношения константы связи для сильных взаимодействий и константы связи для электромагнитных взаимодействий. Это может быть показано следующим образом. При обсуждении деления ядер определяющими величинами являются поверхностная энергия ядра и его кулоновская энергия, определяемые следующими выражениями:

$$E_A = C_1 \cdot A^{2/3}$$

и

$$E_E = C_2 \cdot \frac{Z^2}{A^{1/3}}$$

Константа C_1 , связана с поверхностным натяжением ядра. Ее величина равняется примерно 20 Мэв, порядка энергии взаимодействия 2-х нуклонов, находящихся на расстоянии $\sim 10^{-13}$ см. Величина $C_2 \approx 0,7$ Мэв, т.е. порядка электростатической энергии взаимодействия двух протонов на таких расстояниях. Деление ядер имеет место, если электростатическая энергия ядер сначала равняется и потом превышает поверхностную энергию, т.е. когда

$$C_1 \cdot A^{2/3} \approx C_2 \cdot \frac{Z^2}{A^{1/3}}$$

или

$$C_1 \cdot A^{2/3} \approx C_2 \cdot Z^{5/3}$$

если мы положим $A \approx Z$. Отсюда предельное значение величины

$Z :$

$$Z_{\text{пред.}} \approx \frac{\rho_1}{\rho_2} \approx \text{несколько десятков.}$$

С течением времени было установлено, что эта граница периодической таблицы, определяемая электростатическим отталкиванием, может быть несколько сдвинута оболочечными эффектами. Поэтому, если за пределами периодической таблицы будет замкнутая оболочка протонов или нейtronов, или, желательно, их обоями, это создаст дополнительную связь и дополнительную стабильность ядра. В этом случае становится важным достичь с помощью подходящих средств островок сверхтяжелых ядер с относительно длинными периодами полураспада относительно деления.

В течение ряда лет в этом направлении успехов не было достигнуто, главным образом потому, что предполагали, что следующая замкнутая протонная оболочка, т.е. следующее магическое число протонов будет $Z = 126$, по аналогии с известным магическим числом нейтронов $N = 126$. Число протонов 126 было слишком далеко за пределами существующей периодической таблицы для того, чтобы его можно было достичь имеющимися снарядами из тяжелых ионов. Было похоже на то, что этот вопрос не будет разрешен до тех пор, пока не будут созданы новые ускорители, способные усвирять очень тяжелые ионы.

Взгляд на это положение начал изменяться, когда в результате теоретической работы Г.Мельднера и П.Рёпера в Германии, появившейся примерно в 1965 году, стало выясняться, что $Z = 114$ скорее чем 126, может быть следующим магическим числом.

Причина того, что замкнутые протонные и нейтронные оболочки различаются в области "сверхэлементов" может быть отнесена за счет влияния электростатической энергии, которая, как мы

уже видели, начинает играть важную роль в ядрах, находящихся в конце периодической таблицы.

Как только возможность существования магического числа $Z = 114$ была установлена, как это часто случается, выяснилось, что уже имеющиеся расчеты подтвердили то же самое. Так, в учебнике по ядерной физике М.А.Престона на стр.269 дана диаграмма для одночастичных протонных уровней, - так называемая Нильссонская диаграмма уровней, взятая из работы Моттельсона и Нильссона, опубликованной в 1959 году, из которой следует, что $Z = 114$ является магическим числом.

Вторым фактором, изменившим точку зрения на сверхтяжелые элементы, было дальнейшее уточнение соотношений между магическими числами и высотой барьера потенциальной энергии относительно деления. Это было достигнуто благодаря работе В.д.Майера и моей почти одновременно с Мельдинером и Рёпером, которые показали, что может существовать замкнутая оболочка при $Z = 114$.

Наша работа позволила получить довольно неожиданный результат - барьер относительно деления для гипотетического ядра с замкнутыми нейтронными и протонными оболочками может быть также высоким или даже выше барьера деления многих известных и долгоживущих тяжелых элементов. Кажется, это было чем-то вроде сенсации, и в минувшие два года была проделана значительная теоретическая работа в разных частях земного шара по вопросу о возможности существования сверхтяжелых ядер, особенно по предсказанию следующих магических чисел протонов и нейтронов. Подведем итог:

Первое предположение Мельдинера и Рёпера о том, что $Z=114$ а не $Z=126$, является магическим числом, было подтверждено Собичевским, Гареевым и Калинским,¹⁴ Густафсоном, Ламмом,

Нильссоном и Нильссоном^{/3/}, Струтинским и Музычкой^{/5/}, Фридманом, К.Я.Уонгом^{/6/}, Сигером и Перкинс^{/7/}. Е.Рост высказал сомнения по поводу этих предположений, но его возражения менее убедительны.

Кроме того, некоторые из выше упомянутых авторов напиши, что вблизи числа нейтронов $N = 184$ стабильность так же увеличивается.

Эти выводы основываются на экстраполяции одиночастичной модели ядра и прежде чем приводить более подробные результаты, позвольте сказать несколько слов о принципах, положенных в основу предсказаний о магических числах за пределами периодической таблицы.

Идея заключается в следующем. Вы выбираете одиночастичные потенциальные ямы для протонов и нейтронов, решаете уравнение Шредингера и находите одиночастичные уровни энергии. Вы подготавливаете подложины параметров, склоняющихся потенциальные ямы таким образом, чтобы воспроизвести как можно более точно экспериментальные данные. Эти данные могут быть получены из спектрального анализа положения энергетических уровней, из масс ядер в основном состоянии, из наблюдаемых квадрупольных моментов и т.д. Следовательно, есть модельabolочек, которая достаточно хорошо воспроизводит известные магические числа и сопутствующие свойства, связанные с оболочечными эффектами. Затем Вы экстраполируете параметры потенциальной ямы в сверхвысокую область, скажем, к массовому числу $A \approx 300$ и надеетесь, что Вашей модели достаточно физики для того, чтобы экстраполяция была довольно надежной. С одной стороны, выяснилось, что вышеупомянутая процедура дает хорошие результаты при расчетах дополнительной стабильности ядер, связанный с известными маги-

ческими числами. С другой стороны, все предсказания основаны на экстраполации модели в неизвестную часть диаграммыской работы. Пусть, что было бы спрекрасно, если бы результаты расчетов, или сущие разумные предварительные исследования, то их нельзя рассматривать, как исключительно надежных количественных предсказаний.

Расчеты довольно длины — нужно решить волновое уравнение для многих частич в деформируемой потенциальной яме и лишь несколько таких исследований, причем далеко не исчерпывающих, сделано в настоящий момент. Расчеты Стегера и Неримо, датируемые летом прошлого года, являются наиболее убедительными. Возможно, что наиболее фундаментальные исследования в отношении сверхтяжелых элементов представлены работой С.Г.Нильссона и его сотрудников в Швеции и Польше, которая была продемонстрирована Нильссоном и Р.Линдом здесь, в Химическом отделе. В этих расчетах содержится огромное количество информации, и я хочу показать лишь небольшую часть ее на двух рисунках, имеющих отношение к ожидаемым свойствам изотопов $Z=114$ -го элемента.

На рис. I показано появление барьеров деления для серии изотопов с $Z = 114$ и N от 170 до 184. Так график энергии деформации ядра в Кэвах в зависимости от параметра деформации ξ , который характеризует отклонение формы ядра от сферической.

Эти кривые энергии деформации имеют существенное значение для ответа на вопрос, будет ли ядро стабильным относительно деления или нет. Семейство кривых их иллюстрирует несколько предельных ситуаций. Для изотопа с $N = 170$ ($A = 284$), кот-

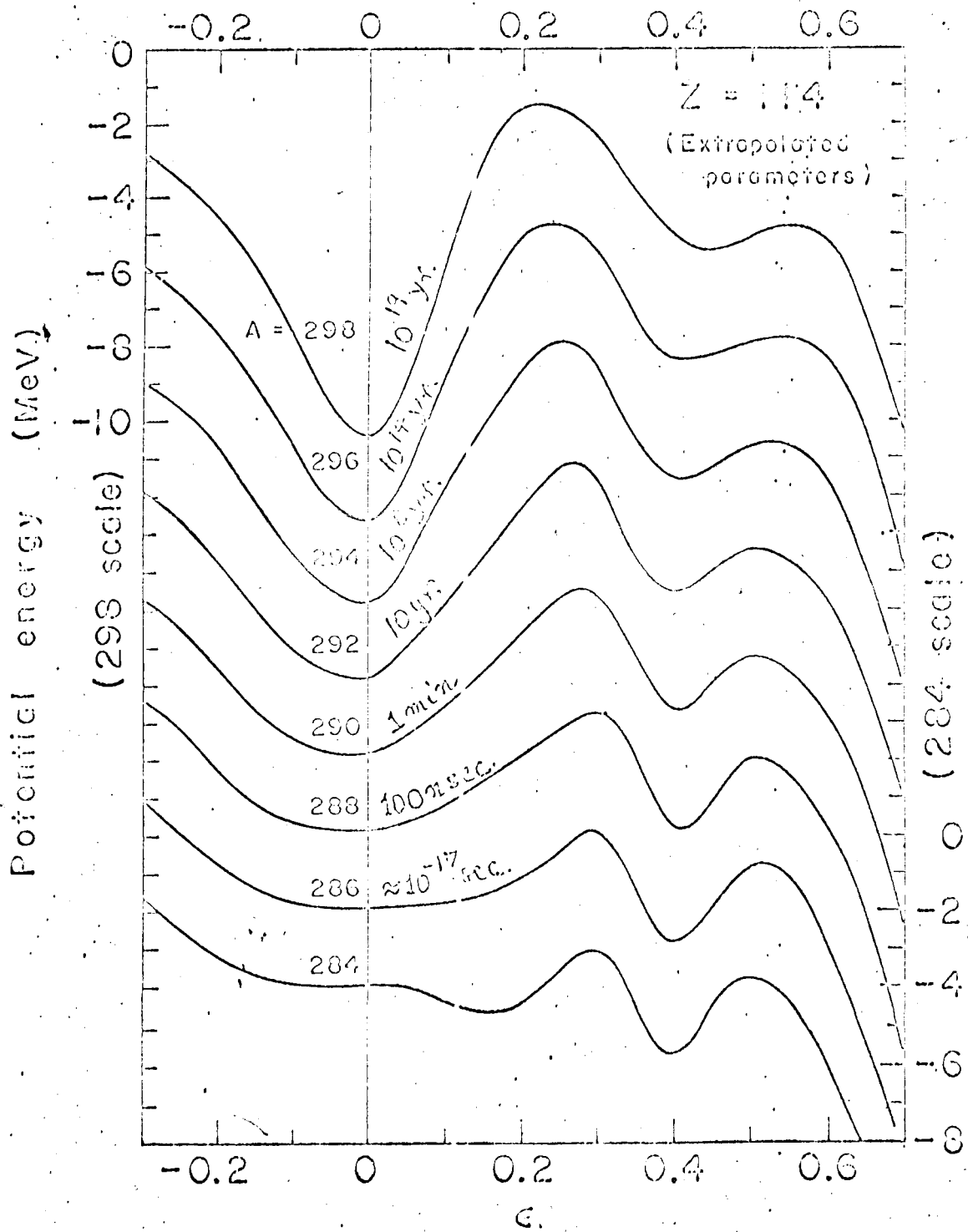


Fig. 1

чae $N=184$; при $N=184$ $T_{1/2} \approx 10^{20}$ лет.

Нильссоном были рассмотрены или рассматриваются в настящее время изотопы других элементов с Z от 114 до 124. Вместо подробного описания этих результатов позвольте мне сделать следующее. Похоже на то, что результаты, полученные Нильссоном и Никсом, также как и результаты Сигера и Перкинса подчиняются закономерности, вытекающей из поведения оболоченных эффектов вблизи известных магических чисел в периодической системе. Поэтому я использую эту закономерность и скомбинирую с имеющимися предсказаниями для того, чтобы составить частично гипотетическую карту острова стабильности с центром при $Z=114$ и $N=184$ — земли обетованной, до которой мы пытаемся добраться.

На рисунке 3, в основу которого положена работа Майзли и моя, показано полуэмпирическое обобщение всего, что известно о влиянии замкнутых оболочек на стабильность ядер. Серая полоса на рисунке изображает известную часть периодической таблицы в координатах N и Z . Показана топографическая карта оболочечных эффектов. Линиями обозначены линии уровней от -10 Мэв до $+10$ Мэв, которые выражают энергию дополнительной связи, т.е. дополнительную стабильность, благодаря оболочечным эффектам (минус 10 Мэв обозначает энергию поднительной связи — наименьшая масса). Этот график имеет краевой интерес следующее отношение: оказывается, что дополнительная стабильность, обусловленная оболочечными эффектами, прямо отражается в высоте барьера деления. Зависимость по-пространствиальна: 1 Мэв дополнительной стабильности дает 1 Мэв дополнительного барьера деления.

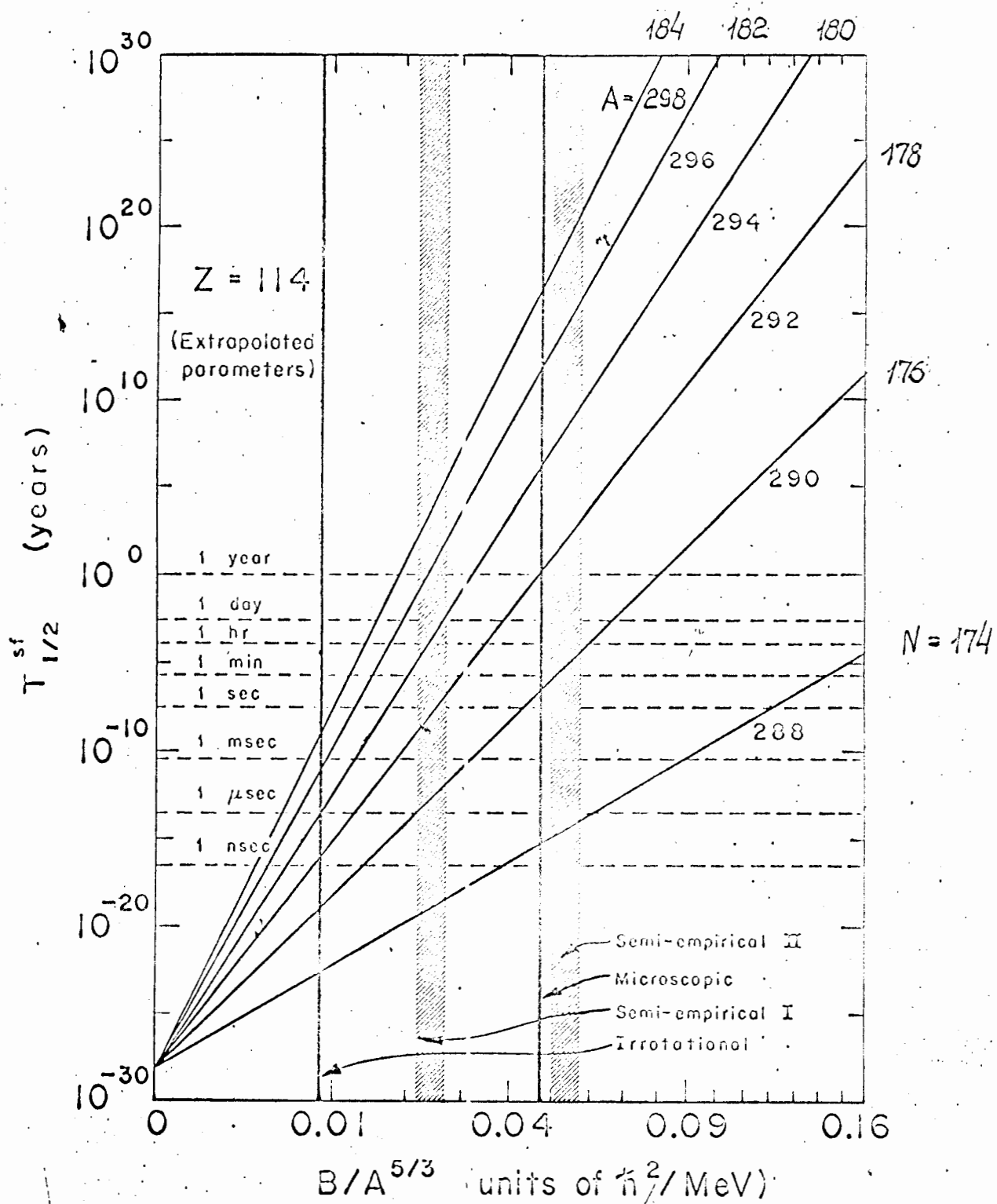


FIG. 2

XBL681-1647

Рассматривая периодическую таблицу, Вы увидите ряд долей простирающихся вдоль линий магических чисел, которые обозначают дополнительную стабильность, связанную с замкнутыми оболочками. Я хочу, чтобы Вы обратили внимание на то обстоятельство, что в области дважды магических чисел, где пересекаются две долины, есть квадратные области дополнительной стабильности с границами приблизительно расположеными под углом 45° к оси координат.

Предсказанное двойное магическое число при $Z = 114$ и $N = 184$ показано справа. Для него предполагается наличие дополнительной связи величиной в несколько Мэв. Используя результаты Нильссона и Никса как основу, и добавив значительную догадку (за что Нильссон и Никс не могут быть ответственны) я нарисовал квадрат, внутри которого можно ожидать времена жизни относительно деления более наносекунд. Это определяет остров относительной стабильности, который можно надеяться изучить экспериментально. Углы острова находятся при $Z \approx 104$ и $Z \approx 124$, и при $N \approx 174$ и $N \approx 194$. Боковые стороны определяются $A \approx 288$ и $A \approx 308$, а также $N - Z \approx 60$ и $N - Z \approx 80$. Как я говорил, не принимайте эти цифры слишком буквально.

Возникают два вопроса:

(1) Как добраться до острова?

(2) Как выглядят туземцы?

Меня занимает преимущественно первый вопрос; уверен, что туземцы будут похищены, как только мы найдем путь добраться до них.

Можно думать о трех способах знакомства с туземцами:

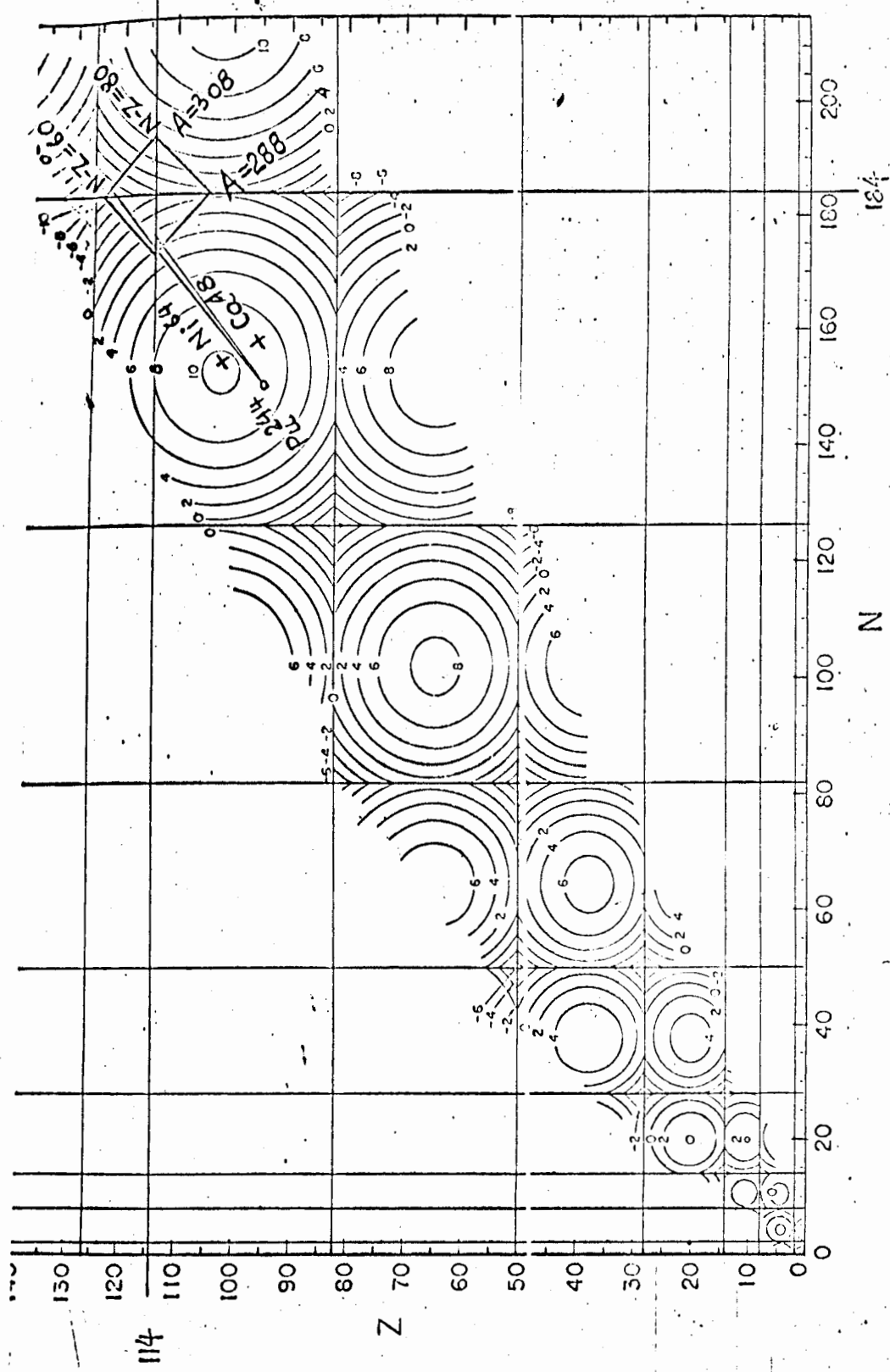


Рис. 3. Показание линий уровня в Мэв двухмерной оболочечной функции $\zeta(\Lambda, \bar{Z})$. Серая полоса соответствует области Ядер с экспоненциальными массами. Дваядцать матрические комбинации $\Lambda = 184, \bar{Z} = 82, \Lambda = 114, \bar{Z} = 114, \Lambda = 184, \bar{Z} = 114, \Lambda = 184, \bar{Z} = 114$, $\Lambda = 184$ наимболее вероятные. Окружки обозначают стабильности с центром в этом точке термовакуума и радиусом

$R_{\text{стаб}} = R_{\text{рад}} = 124,304 + 124,304 + 124,304 + 124,304$

(1) Искать сверхтяжелые элементы в природе.

(2) Добавлять большие дозы нейтронов к известным тяжелым элементам (в реакторах большой интенсивности или путем ядерных взрывов) и положиться на успешный захват нейтронов и бета-распады для того, чтобы добраться до острова (это похоже на поплыть к острову).

(3) Бомбардировать тяжелую мишень тяжелыми ионами с целью достичь этот остров одним прыжком. (Это похоже на перелет в самолете или ракете).

Метод (1) представляет интерес только в том случае, если все периоды полураспада нужных элементов чрезвычайно велики. Это относится также к альфа- и бета-распадам и представляется нереальным.

Метод (2) кажется безнадежным в настоящее время, хотя в будущем он может оказаться осуществимым.

Метод (3) является стандартным способом получения новых элементов.

Большинство работ по новым элементам в наши дни сделано на ХИЛАК"е в Беркли и в Объединенном институте ядерных исследований в Щубне севернее от Москвы, в группе, возглавляемой Г.Н.Флеровым. Если сверхтяжелые элементы будут получены в ближайшем будущем, это произойдет, вероятно, в одном из этих двух мест.

Здесь в Беркли группа А.Гиорса на ХИЛАК"е имеет известную и длинную историю в области открытия новых элементов. Начиная с лета прошлого года, когда нас впервые взволновала возможность получения 114-го элемента, группа Стена Томпсона из Лаборатории Ядерной Химии, работала, главным образом, в направлении прони-

новения на остров сверхтяжелых элементов. Участвовали в экспериментах:

Г.Р.Боуман	Р.М.Латимер
Р.Г.Гатти	Л.Г.Моретто
Дж.К.Джаред	С.Г.Томпсон

Мы использовали опыт Гиорсо и его группы в области исследований сверхтяжелых элементов. Т.Сиккеланд помог нам в первых работах. Мы также пользовались программой для счетно-вычислительных машин, разработанной Т.Сиккеландом, Дж.Е.Кларксоном, Д.Ф.Лебеком и А.Гиорсо, которая имела большую ценность в определении оптимальных энергий бомбардирующих частиц и предполагаемых поперечных сечений.

Наше предприятие несколько отличается от традиционного, когда периодическая таблица расширяется шаг за шагом маленькими гами. В нашем случае мы должны сделать один большой прыжок, сражаюсь на теорию, которая скажет, куда направиться и чего ждать. Это похоже на морское или воздушное путешествие, если сравнивать его с изучением земли. Нам повезло в том отношении, что наши штурманами в критический момент были С.Г.Нильссон и Дж.Р.Никс (К сожалению, в прошлом месяце произошел пиратский налет во время сильного волнения и Никс был похищен и увезен в Лос-Аламос).

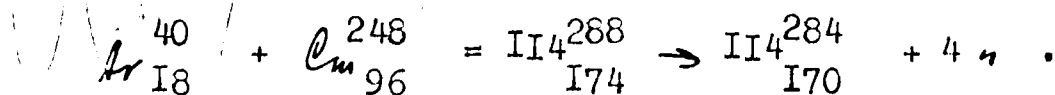
Какие тяжелые ионы и тяжелые мишени нужно использовать для того, чтобы добраться до острова? Обследование периодической таблицы показывает, что проблема эта нетривиальна. Вероятно, только дюжина комбинаций мишени и снаряда дают возможность приземлиться непосредственно на острове. (Я упомяну косвенные меры позже). Ограничивающим фактором является внесение достаточ-

го числа нейтронов в составное ядро. Проблема усложнилась еще и тем, что составное ядро образуется в возбужденном состоянии и наиболее общий способ, при котором ядро остывает - испарение нейтронов. Если допустить потерю четырех нейтронов таким способом - (это номинальная, но разумная цифра) получим при этом 10 возможностей:

1. $\text{Ca}^{48}(0.18\%) + \text{Ru}^{244} = 114_{174}^{282} + 4n$
2. $\text{Ca}^{48} + \text{Cm}^{248} = 116_{176}^{292} + 4n$
3. $\text{Ca}^{48} + \text{Cf}^{252} = 118_{178}^{296} + 4n$
4. $\text{Ni}^{64}(1.1\%) + \text{Ru}^{244} = 122_{182}^{308} + 4n$
5. $\text{Ni}^{64} + \text{Cm}^{248} = 124_{184}^{308} + 4n$
6. $\text{Zn}^{68}(19\%) + \text{Ru}^{244} = " "$
7. $\text{Y}_{\ell}^{74}(37\%) + \text{U}^{238} = " "$
8. $\text{Se}^{80}(50\%) + \text{Th}^{232} = " "$
9. $\text{Kr}^{86}(17\%) + \text{Ra}^{234} = " "$
10. $\text{Xe}^{132}(27\%) + \text{U}_{\ell}^{176} = " "$

Цифры в скобках обозначают относительное содержание изотопов.

Все это случаи лишь частичного приземления на Северо-Западном побережье "магического квадрата". В настоящее время на ХИЛАК"е не может быть получен ни один из ионов от Са до Хе (У русских в Дубне есть более тяжелые ракеты; и ходят слухи, что они ускорили ионы Са и Ti). Самая тяжелая частица, которая ускоряется на ХИЛАК"е - Ar⁴⁰. В настоящее время, используя мишень из Cm²⁴⁸, можно получить реакцию:



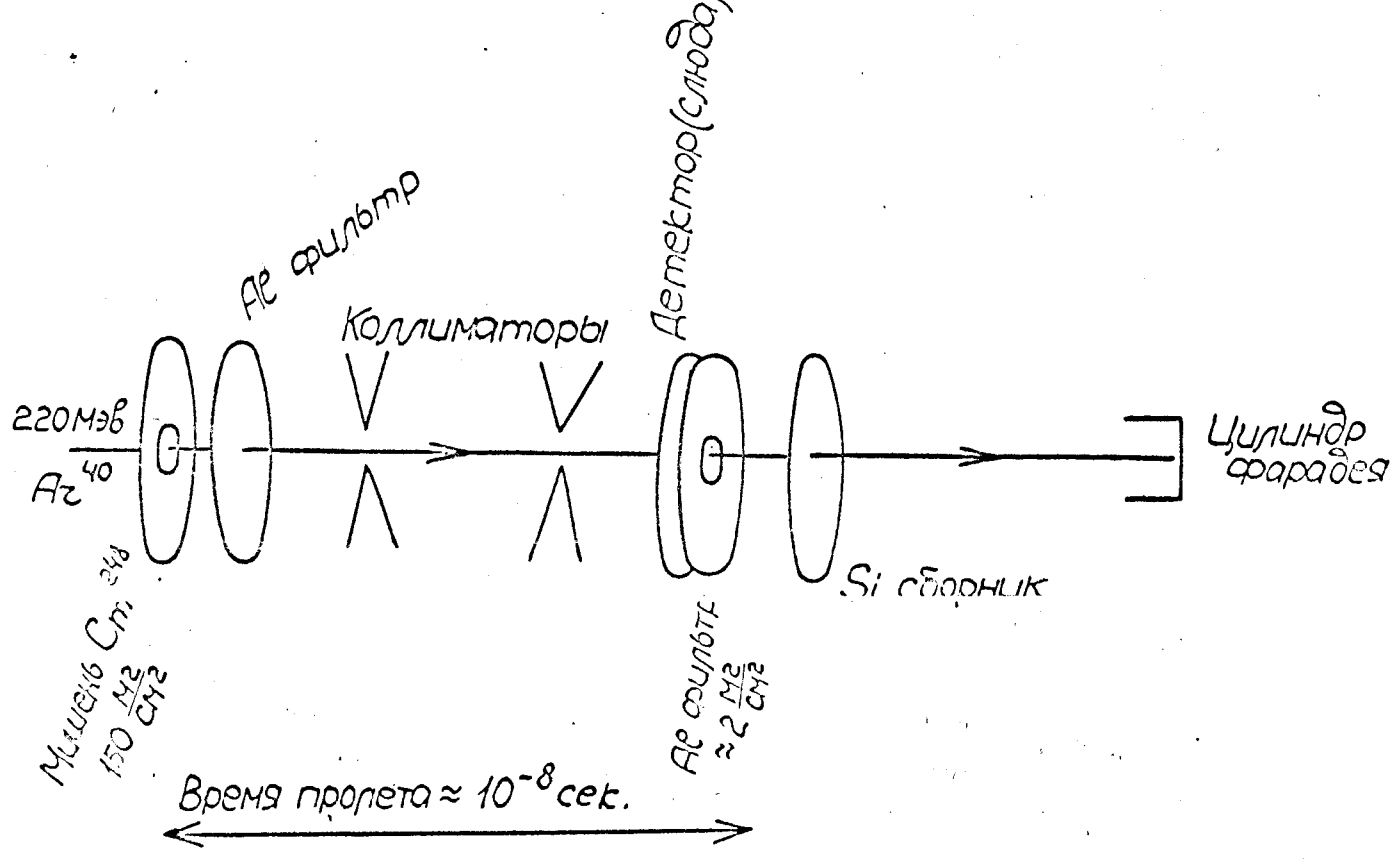
Изотоп элемента I_I4 со I_I70 нейтронами находится вне западной части на расстоянии, равном четырем нейtronам - эта девиация вызвана "охлаждающим нейтронным ветром", связанным с испарением нейтронов из составного ядра. Поэтому, к сожалению, мы еще не в состоянии бомбардировать Западную Точку.

В результате наши возможности получения достаточно долговечного изотопа элемента I_I4 выглядят неблестящие. Тем не менее, мы продолжаем эксперимент Ar + Cm по двум причинам. Во-первых, это дает нам возможность развивать чувствительную и надежную методику регистрации для использования в будущем. Вторая причина, как я уже упоминал, заключается в том, что соображения на которых основан магический квадрат, нельзя рассматривать как твердые предсказания. Не исключена возможность, что природа окажется более доброй, чем Нильссон и Никс. Я уверен, что наши штурманы в отличие от настоящих, будут рады, если мы налетим на риф, не отмеченный на карте к западу от магического квадрата.

Позвольте рассказать Вам более подробно о том эксперименте, которым мы занимаемся последние 6 месяцев.

Эксперимент по I_I4-му элементу.

Эксперимент чрезвычайно прост:



Предполагается, что Ar^{40} полностью поглощается Cm^{248} . Многие компаунд-ядра могут распадаться, но те, что уцелеют, будут выбиты из мишени с энергией $220 \frac{40}{288} = 31$ Мэв. Затем они тормозятся в Al - фольге, назначение которой отфильтровывать те из нежелательных примесей, которые могут вылетать из мишени. Составные ядра, если время их жизни больше, чем 10^{-8} сек. оседают затем на Si - сборнике. Сборник прозрачен для ионов аргона имеющих энергию 220 Мэв. Предполагается, что ядра II4-го элемента, осевшие на сборнике, будут спонтанно делиться либо сначала испытают бета или альфа-распад, а затем будут делиться. В любом случае осколки деления от II4-го элемента или от дочернего продукта будут регистрироваться на слюдяном диске, повернутом к сборнику, но защищенным от пучка. Следы деления на слюде видны в микроскоп после тразлениия плавиковой кислотой.

В типичном эксперименте, скажем, в проведенном нами 8-го сентября 1967 года, мы имели $0,56 \times 10^{15}$ ионов аргона, прошедших через Cm^{248} толщиной 150 mg/cm^2 . Слюдяной детектор зарегистрировал 28 следов деления. Мы бы были удовлетворены этим, но, к несчастью, накануне празднования открытия II4-го элемента, к своему удивлению, обнаружили, просматривая второй кусок слюды из контрольного опыта, когда Cm мишень была убрана, что продолжаем получать II4-й элемент и с той же скоростью, что и раньше. Должно быть, это был случай спонтанного образования II4-го элемента или, что более вероятно, мы столкнулись с трудностями фона. Видите ли, сборник подвергается воздействию 10^{15} ионов аргона, и если в нем есть малейшая примесь достаточно тяжелого элемента, то он будет распадаться и оставлять следы на слюде. Примеси элементов между Ar и U порядка I часть на 10^8 буде-

достаточно для появления следов, которые мы видели. Мы искали чистые сборники и Li , используемый нами, уже на порядок чище чем Al , с которого мы начинали. Кроме этого, для отделения осколков деления II4-го элемента от осколков деления присей мы можем использовать еще одну возможность, более тонко но потенциально очень эффективную. В ее основе лежит тот факт что ядра II4-го элемента, осевшие на сборники, будут неподвижны во время деления, тогда как примеси, делящиеся под действием ионов Ar , будут делиться в полете. Из-за большого импульса, внесенного аргоном, осколки, движущиеся назад, будут иметь значительно уменьшенную энергию. Они могут быть отфильтрованы другой алюминиевой фольгой, расположенной над слюдяным детектором. Эффект может быть действительно колossalным, так как энергия осколков уменьшается с примерно 100 Мэв до 30-50 Мэв. Для примесей более легких, чем U , эффект будет даже сильнее и примеси ниже редких земель вообще не будут способны давать осколки движущиеся назад. Однако, остаются трудности, связанные с очень тяжелыми примесями, так как ядра вблизи урана могут литься даже после него, как их слегка заденет аргон. В этом случае их импульс вперед будет мал и отличить образующиеся осколки деления от осколков элемента II4 будет очень трудно. Установлено, что Al фильтр, расположенный над слюдой, уменьшит количество следов на порядок, и мы считаем, что можем создать окончательную детектирующую систему (окончательную в практическом смысле), в которой не будет следов деления примесей после облучения.

Вторая трудность, с которой мы сталкиваемся, когда мы начинаем видеть следы деления, не связанные с фоном, - иде-

тификация полученных элементов и изотопов. Идентификация нового элемента всегда сложна, если полученные поперечные сечения не большие. Хотя вполне возможно получить большие поперечные сечения, используя подходящие ионы, не следует рассчитывать на это. Рассмотрим эти проблемы идентификации. Первый $\Delta\ell$ фильтр-один из мер, которая поможет исключать некоторые альтернативы. Мы также готовим камеру рассеяния для наблюдения совпадений осколов. Я не хочу касаться этих вопросов сейчас, поскольку, к счастью или к несчастью, они потребуют в будущем больших усилий для их разрешения. До сих пор мы не наблюдали событий, которые можно было бы с уверенностью отнести к чему-либо еще кроме фона. Можно было бы подвести итог нашим экспериментам к настоящему времени, сказав, что мы установили верхний предел для поперечных сечений образования более легких изотопов II4-го элемента, оящих на несколько нейтронов к Западу от магического квадрата (Наш верхний предел относится только к изотопам с $T_{1/2}$ между наносекундами и днями - время полета ядра отдачи к сборнику равно величине порядка наносекунд, и продолжительность облучения ХИЛАК"е порядка 1 дня).

Предельное значение поперечного сечения, установленное нами для реакции ($Cm^{248} + \Delta^{40} \rightarrow Z = 144; N = 170$) приблизительно равно $10^{-30} - 10^{-31} \text{ см}^2$.

Подробное описание результатов можно найти в ежегодном отчете Химического Отдела (за 1967 год).

Сейчас мы разрабатываем новую систему, включающую несколько усовершенствований, которые позволят нам отодвинуть ниже этот верхний предел. Однако, как я уже объяснял, мы не рассчитываем найти сверхтяжелые элементы даже при помощи усовершенствован-

вованной системы до тех пор, пока мы используем ионы Ca^{40} . Ключ к получению сверхтяжелых элементов, если они существуют, в предсказанной области - это получение обогащенных нейтронами ионов из области между Ca^{48} и Ni^{64} . Я показал эти две возможности на рис.3.

В будущем, когда станут доступными более тяжелые ионы, возможность достижения магического квадрата может быть увеличена за счет других типов реакции, других методов обстрела острова стабильности. Иными словами, Вы стремитесь выстрелить в объект расположенный за островом и затем рассчитываете на испускание заряженных частиц для того, чтобы попасть в цель: Вас несет вниз к острову "течение заряженных частиц".

При небольшом "перелете" можно надеяться на испускание альфа-частиц, возможно, лития, бериллия, углерода или ядер кислорода. Преимущество реакций "перелета" заключается в том, что можно получить более высокие отношения числа нейтронов к числу протонов в конечных ядрах. Это можно видеть при переходе к реакциям "далекого перелета" типа $\text{Pu}^{244} + \text{Pu}^{244}$. Это тот тип реакций, который особенно нравится Флерову. Сначала вы образуете шарик с массовым числом $A = 488$ и $N = 300$ и $Z = 188$. Этот шарик затем разваливается на 2, 3, 4 или более частей. Эти части могут различаться по массам, но предполагается, что они имеют отношение числа протонов и нейтронов где-то около $188/300 = 0.626\%$. Таким образом, при взрыве будут образовываться ядра в пределах всей периодической таблицы. Как вы можете убедиться, центр такого пятна очень близко подходит к центру магического квадрата, где отношение $\frac{Z}{N} = 0.6196$. (Он проходит через $Z = 115$, $N = 184$). Этот предельный "пере-

"лет" будет иметь также то преимущество, что он заполняет такую большую часть периодической таблицы продуктами, что есть возможность найти новые элементы, где бы они ни находились — возмож и за $Z = 114$. (С.Г.Нильссон имеет данные, свидетельствующие о том, что, возможно, $Z = 164$ — магическое число). Идея здесь заключается в том, что вы засыпаете структурный рельеф на проекции всей периодической таблицы осколками шарика, которые сорются в углублениях, связанных с магическими числами.

Позвольте резюмировать эту часть моего доклада, прежде чем перейти к вопросу о предположениях по поводу макроядер.

В известной части периодической таблицы есть 6 или 7 магических чисел нейтронов и протонов, из них $N = 126$ и $Z = 82$, наиболее известны. Нет оснований думать, что 126 и 82 — последние замкнутые оболочки. Их может быть еще несколько в области до $A = 500$, которая будет доступна после применения новых типов ускорителей тяжелых ионов. Тогда можно будет получить ряд новых сверхтяжелых элементов. Только на острове вокруг $Z = 114$, $N = 126$ для которого накапливаются теоретические данные, может быть найдено 20 элементов (около 200 изотопов!) с периодами полураспада более наносекунд. Что касается гораздо более близкого будущего — один берег этого острова, а именно, элементы с Z от 114 до 124, почти досягаем для ускорителей, имеющихся уже в Беркли и Дубне. Для достижения этой цели необходимо получение ускорителя тяжелых ионов Ca^{48} и N^{64} .

Макроядра?

Разрешите закончить доклад некоторыми гипотезами о самом самом отдаленном конце периодической таблицы элементов. Как я уже говорил в начале, таблица в ее современном виде ограничива-

ся электростатическим отталкиванием, которое превышает ядерное поверхностное натяжение. Кажется, что это абсолютный конец, но давайте тем не менее рассмотрим все более и более взрывчатые системы, которые будут постепенно образовываться при движении к ядру все большего количества частиц. Посмотрим, что должна сказать нам о судьбе таких систем полуэмпирическая формула капельной модели для энергий связи. Эта формула пренебрегает оболочечными эффектами, которые были до сих пор в центре нашего внимания, но она хорошо воспроизводит тенденции в среднем, которые я и хочу сейчас рассмотреть.

Формула для энергии связи выглядит следующим образом:
 $E = -c_1(\text{объем}) + c_2(\text{поверхность}) + (\text{кулоновская энергия}) + \dots$

Последние два члена являются секретными: Секретный Член один и Секретный Член два. Сейчас мы к ним подойдем.

Мы отмечали ранее, что для того, чтобы капля ядерной жидкости была стабильна относительно деления, необходимо, чт-

$$\frac{\text{Кулоновская энергия}}{\text{Поверхностная энергия}} \leq I$$

Оказывается, что мы ошибаемся в два раза. В действительности количественное условие

$$x = \frac{I}{2} \cdot \frac{\text{Кулоновская энергия}}{\text{Поверхностная энергия}} < I$$

есть истинное условие стабильности ядра.

Когда мы переходим к более тяжелым ядрам x становится больше 1 и система будет все более и более нестабильной. При $x = 2.212$ происходит, однако, странная вещь. Электростатическое давление становится таким большим, что в центре образуется пузырек (ядерная кавитация). Ядро в форме толстой сферической

ложительным зарядом, экранированным электронным облаком. Вопрос стабильности или нестабильности такого объекта, насколько мне известно, является нерешенной проблемой.

Оставим его без ответа и вернемся к твердому шаровидному ядру, так как здесь, нас ждет еще один сюрприз. Будем добавлять больше и больше частиц в ядро, стараясь все время сделать ядро твердым и сферическим. Оно будет стремиться выйти из повиновения — это похоже на состояние, когда сидишь на бомбе, готовясь взорваться. Что может остановить кулоновскую энергию от взрыва? Да, вы угадали, это может сделать Секретный Член два!

Секретный Член 2 — это гравитационная энергия ядра:

$$J_2 = \frac{9}{5} \frac{GM^2 A^2}{R}, \text{ где } M \text{ — масса нуклона}$$

Она имеет ту же форму, что и кулоновская энергия
Кулоновская энергия = $\frac{3}{5} \frac{e^2}{R} \frac{Z^2}{R}$ (или $\frac{1}{2} \frac{e^2}{R} Z^2$)
если протоны предпочутут сидеть на поверхности ядра).

Если ядро достаточно велико, гравитационная энергия компенсирует кулоновское отталкивание. Насколько большим оно должно быть?

Сначала мы должны решить, каким должно быть отношение $\frac{M}{A}$ нашего макроядра. Нам хотелось бы, чтобы оно было бета-стабильным, поэтому мы будем действовать вдоль долины бета-стабильности. Если использовать стандартное ядерное уравнение для определения места нахождения этой долины, что будет почти наверняка ошибкой, — (смотри ниже), мы находим для больших ядер

$$Z = (\text{константа}) A^{1/3}$$

Константа равна примерно 100. Поэтому мы имеем
Кулоновская энергия $\approx \frac{3}{5} \frac{e^2 (100)^2 A^{2/3}}{R}$.

Приравнивая кулоновскую и гравитационную энергию, мы находим

$$A^{1/3} \approx \frac{(100^2 e^2)}{2M^2}^{1/4}$$

или $A^{1/3} \approx 10^{10}$,

$$A \approx 10^{30},$$

$$Z \approx 10^{12}$$

$$R \approx 10^{-13} \times 10^{10} = 10^{-3} \text{ см.}$$

масса ≈ 1 тонна.

Результат неожиданный. Когда я в первый раз доводил до конца этот расчет, я думал, что привлечение гравитации к ядерной проблеме наверное приведет к объекту типа нейтронной звезды. Но совсем нет .. учет гравитационной и электростатической энергий приводит к размерам не больших, чем размеры частицы пыли, с трудом видимой невооруженным взглядом. В объектах такой величины и больше, гравитация стабилизирует макроядр относительно деления. Будет ли такой объект действительно стабильным? Можно ли найти его в космосе?

Несколько вопросов остаются открытыми. Во-первых, работа-стабильности нужно сделать более точным, с учетом члена Z . Это может резко изменить оценку отношения $Z : A$. Во-вторых, если отношение $Z : A$ порядка $10^{12} : 10^{30} = 10^{-18}$ то макроядро, по-существу, является каплей нейтронной материи и необходимо поэтому ответить на вопрос, является ли связана нейтронная материя. Неясно, стабильно ли ядро относительно утечки нейтронов, одного за другим, даже если оно устойчиво относительно макроскопических изменений формы. Мне известны две имеющие отношение к данному вопросу работы о нейтронно-

материи: Е.Е.Салпетер, Аин.Физ. II, 393 (1960) ; и К.А.Брак Дж.Г.Гаммель и Дж.Т.Кубис, Физ.Рев. II8, 1095 (1960). Нейтронная материя - это один из бесчисленных вопросов, на которые может дать также ответ Билл Майерс из здешней Теоретической группы в рамках его трактовки ядра с точки зрения модели Тосса-Ферми. Из этих работ следует, что энергия связи нейтронной материи трудно определима, поскольку она представляет собою разность между двумя большими почти одинаковыми числами. Возможно, что нейтронная материя не связана, но я считал бы этот вопрос открытым.

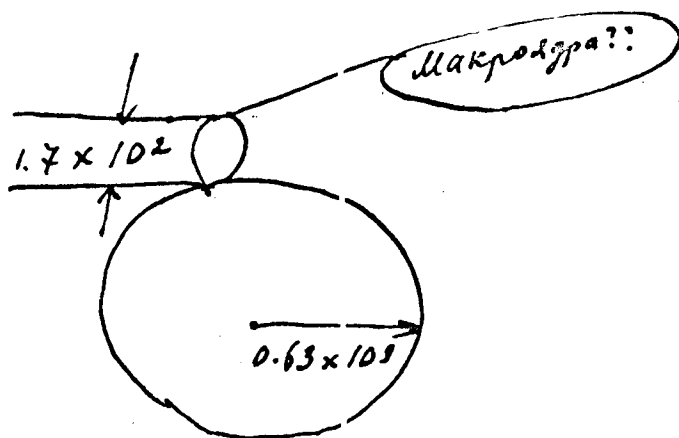
Мой вывод о стабильности макроядер, кажется, также можно считать неокончателъным. Для изучения этой проблемы следует взять ур. (1) для энергии N нейронов, \mathcal{Z} протонов и \mathcal{Z}_e электронов, включая величины S_1 и S_2 , и исследовать как можно более исчерпывающие различные равновесные конфигурации, исходя из условия

$$\delta E = 0 \quad (2)$$

Надеюсь, что я убедительно доказал необходимость быть готовым к сюрпризам. Во-первых, к сюрпризам, связанным с малыми числами (они несколько бледнеют после наших рассуждений о макроядрах). Далее, к сюрпризам, которые могут предподнести электронные и гравитационные энергии.

Как предостережение против предположения, что нет ничего более интересного, чем ядра с атомными номерами около 100, будем следующий результат. Мы знаем эмпирически, что условие равновесия (2) имеет очень, очень странные решения. Одно из них проиллюстрировано на рисунке. Предположим, мы берем $N = 1,9 \times 10^{51}$, $\mathcal{Z} = 1,7 \times 10^{51}$ и $\mathcal{Z}_e = 1,7 \times 10^{51}$. Тогда для нас являет

фактом, что одно решение ур. (2) будет иметь форму двух соприкасающихся макроядер - большого и малого. Большое имеет форму шара в радиусом $6,3 \times 10^8$ см. Малое сильно деформировано его большая ось - $1,7 \times 10^2$ см. Это малое макроядро действител но странно. Оно имеет руки, ноги и бороду - и рассуждает о макроядрах в среду вечером^{x)}.



пример решения $\delta E = 0$.

x) $0,63 \cdot 10^9$ см - радиус земного шара,

$1,7 \cdot 10^2$ см - примерный рост бородатого В.Дж.Святецкого.

REFERENCES

1. G. T. Seaborg, article for Ann. Rev. of Nucl. Sci. preprint, 1968.
2. H. Meldner and P. Röper, referred to on p. 68 in W. D. Myers and W. J. Swiatecki, UCRL-11930 (1965); Nucl. Phys. 81, 1 (1966); also H. Meldner, UCRL-16843 (1966).
3. M. A. Preston, Physics of the Nucleus (Addison-Wesley Publishing Co., 1962); T. Sikkeland, J. E. Clarkson, D. F. Lebeck, and A. Ghiorso, UCRL-16773.
4. A. Sobczewski, F. A. Garcev, and B. N. Kalinkin, Phys. Letters 22, 500 (1966).
5. V. M. Strutinski and Yu. A. Muzychka, Proc. International Conference of the Physics of Heavy Ions, 13-19 October 1966, Dubna, Vol. 2, p. 51.
6. C. Y. Wong, Phys. Letters 21, 688 (1966).
7. P. A. Seeger and R. C. Pertsho, IA-3751, UC-34, Physics, TID-4500 Los Alamos report, 1967.
8. C. Gustafson, I. L. Lamm, B. Nilsson, and S. G. Nilsson, Proc. Lysekil Conference, 1967.
9. E. E. Salpeter, Ann. of Physics 11, 393 (1960); K. A. Brueckner, J. L. Gammel, and J. T. Kutz, Phys. Rev. 118, 1095 (1960).